

# АНАЛИЗ СИММЕТРИЙ ГЕНЕТИЧЕСКОГО КОДА И СТЕПЕНЬ ДЕТЕРМИНАЦИИ КОДОНОВ

Д. Р. Дуплий, С. А. Дуплий \*

*Харьковский национальный университет им. М. Н. Каразина  
пл. Свободы, 4, Харьков 61077, Украина*

22 июня 2000 г.

Предлагается трехмерная модель генетического словаря в терминах введенной числовой характеристики нуклеотидов — степени детерминации, которая отражает абсолютную разность содержания пиримидиновых и пуриновых оснований в одной нити ДНК. В рамках этой модели прослеживаются выраженные симметричные закономерности и групповые свойства, которые описаны. Предлагается использовать степень детерминации для анализа генетических текстов а также предсказания структур и значения различных функциональных участков ДНК.

Понимание современных концепций молекулярной генетики невозможно без дальнейшего всестороннего изучения аппарата экспрессии генов [1, 2]. Весьма актуальным в этом направлении являются алгебраические подходы к проблеме эволюции эукариотического генетического кода [3, 4], заключающиеся в применении теоретико-групповых методов [5], поиске симметрий [6, 7] и суперсимметрий [8, 9, 10], техники векторных пространств [11]. Однако внутренняя структура генетического кода и топология ДНК требуют дальнейшего исследования [12, 13, 14].

В работе предлагается трехмерная модель генетического словаря, на основании разной степени детерминации нуклеотидов  $d$ , которая описывается количественно. Внутри полученной модели прослеживаются выраженные симметричные закономерности и групповые свойства. Введенная степень детерминации нуклеотида  $d$  отражает абсолютную разность содержания пиримидиновых и пуриновых оснований в наборах нуклеотидов и находится с ней в периодической зависимости. Обсуждается возможность использования этой числовой характеристики для анализа и чтения генетических текстов, а также предсказание строения различных функциональных участков ДНК.

## 1 Вырожденность кода и специфичность нуклеотидов

Хорошо известно, что генетический код имеет триплетный характер с разной степенью специфичности оснований [15]. Так первые два основания кодона в большей степени детерминируют образование определенной аминокислоты, чем третье основание. Например, любая из аминокислот — глицин, валин, пролин, аланин и треонин — кодируется четырьмя кодонами, и в каждом случае эти четыре кодона различаются только нуклеотидами в третьей позиции. Другими словами 32 кодона, то есть половина всего количества, имеет полное вырождение по третьему основанию  $z$ . Аминокислота полностью задана первыми нуклеотидами  $x$  и  $y$  независимо от нуклеотида  $z$ . Для двукратно вырожденных кодонов характер аминокислоты определяется пуринами ( $z = A, G$ ) или пиримидинами ( $z = C, U$ ) находящимися в третьей позиции. Около двух третей общего количества оснований, присутствующих в ДНК имеют примерно постоянный характер у всех организмов — это основания, занимающие первое и второе положение в триплете, изменчивость состава ДНК определяется основаниями в третьем положении [16, 15].

Корреляция между количеством определенных аминокислот в белке и относительным содержанием гуанина и цитозина в соответствующей ДНК была найдена еще до окончательного выяснения генетического словаря [12]. Увеличение содержания  $G + C$  в ДНК различно отражается на составе аминокислот в белке и характеризуется следующими тремя зависимостями. Содержание одних аминокислот увеличивается при увеличении количества  $G + C$  в ДНК, содержание других уменьшается, а содержание третьих остается индифферентным относительно количества цитозина и гуанина. В зависимости от содержания гуанина и цитозина дуплеты нуклеотидов, кодирующих аминокислоты разделяются на три класса: не включающие ни гуанин, ни цитозин; содержащие исключительно гуанин и цитозин и промежуточные [12]. Очевидно, что присутствие в кодоне гуанина или цитозина в большой степени детерминирует образование совершенно определенной аминокислоты, в то время как наличие аденина или урацила не является высоко специфичным: например, дуплет  $AA$  соответствует и Lys, и Asn, дуплет  $UU$  кодирует Phen и Leu, в то время как  $CG$  всегда детерминирует Arg).

## 2 Структура матрицы дуплетов

Поскольку основание в третьем положении допускает большую вариабельность для одной и той же аминокислоты, целесообразно рассмотреть первые два основания кодонов  $x, y$  отдельно от третьего  $z$ . При этом шестнадцать возможных дуплетов по способности детерминировать

аминокислоту распадаются на два октета. Восемь дуплетов (более “сильных”) однозначно кодирующих аминокислоты независимо от третьего основания, и восемь (“слабых”), у которых третье основание определяет значение кодона. Дуплеты  $xy$  первого и второго октетов резко различаются по составу. В первом октете **A** встечается лишь один раз, во втором — один раз **C**. Причем, переход от дуплетов “сильного” октета в дуплеты “слабого” октета можно получить следующей заменой [17]

$$\mathbf{C} \xleftrightarrow{*} \mathbf{A}, \mathbf{G} \xleftrightarrow{*} \mathbf{U}, \quad (1)$$

которую мы будем обозначать “операция (\*)” и называть пури-пиримидиновой инверсией.

Четыре нуклеотида можно расположить по способности однозначно детерминировать аминокислоты в порядке убывания следующим образом [18]:

Пиримидин	Пури	Пиримидин	Пури	
<b>C</b>	<b>G</b>	<b>U</b>	<b>A</b>	(2)
очень сильная	сильная	слабая	очень слабая	

Эти нуклеотиды отличаются и по числу водородных связей, которые они могут образовывать с комплементарными нуклеотидами антикодона: каждая из сильных букв (**C** и **G**) образует по три водородные связи, в то время как каждая из слабых букв (**U** и **A**) образует лишь по две водородные связи [18, 19]. Можно предположить, что, чем больше водородных связей в дуплете, тем меньшее значение имеет взаимодействие  $z \rightarrow z'$  третьего основания с антикодоном.

Для того, чтобы перейти от качественного описания структуры генетического кода (относительно способности кодировать аминокислоту) к количественному, введем числовую характеристику эмпирической “силы” — “степень детерминации” нуклеотида  $d$ . Исходя из (2) будем считать, что степень детерминации  $d$  может принимать значения от одного до четырех соответственно возрастанию этой силы. Если обозначить степень детерминации кодона верхним индексом в скобках, то четверку оснований (2) можно представить в виде вектора-столбца

$$\mathbb{V} = \begin{pmatrix} \mathbf{C}^{(4)} \\ \mathbf{G}^{(3)} \\ \mathbf{U}^{(2)} \\ \mathbf{A}^{(1)} \end{pmatrix} \quad (3)$$

и соответствующей вектор-строки

$$\mathbb{V}^T = ( \mathbf{C}^{(4)} \quad \mathbf{G}^{(3)} \quad \mathbf{U}^{(2)} \quad \mathbf{A}^{(1)} ). \quad (4)$$

Операция (\*) (1) действует на вектор-столбец  $\mathbb{V}$  следующим образом

$$\mathbb{V}^* = \begin{pmatrix} \mathbf{A}^{(1)} \\ \mathbf{U}^{(2)} \\ \mathbf{G}^{(3)} \\ \mathbf{C}^{(4)} \end{pmatrix} \quad (5)$$

Рассмотрим внешнее произведение [20] вектора-столбца (3) и вектора-строки (4)

$$\begin{aligned} \mathbb{M} &= \mathbb{V} \times \mathbb{V}^T = \begin{pmatrix} \mathbf{C}^{(4)} \\ \mathbf{G}^{(3)} \\ \mathbf{U}^{(2)} \\ \mathbf{A}^{(1)} \end{pmatrix} ( \mathbf{C}^{(4)} \quad \mathbf{G}^{(3)} \quad \mathbf{U}^{(2)} \quad \mathbf{A}^{(1)} ) = \\ &= \begin{pmatrix} \mathbf{C}^{(4)}\mathbf{C}^{(4)} & \mathbf{C}^{(4)}\mathbf{G}^{(3)} & \mathbf{C}^{(4)}\mathbf{U}^{(2)} & \mathbf{C}^{(4)}\mathbf{A}^{(1)} \\ \mathbf{G}^{(3)}\mathbf{C}^{(4)} & \mathbf{G}^{(3)}\mathbf{G}^{(3)} & \mathbf{G}^{(3)}\mathbf{U}^{(2)} & \mathbf{G}^{(3)}\mathbf{A}^{(1)} \\ \mathbf{U}^{(2)}\mathbf{C}^{(4)} & \mathbf{U}^{(2)}\mathbf{G}^{(3)} & \mathbf{U}^{(2)}\mathbf{U}^{(2)} & \mathbf{U}^{(2)}\mathbf{A}^{(1)} \\ \mathbf{A}^{(1)}\mathbf{C}^{(4)} & \mathbf{A}^{(1)}\mathbf{G}^{(3)} & \mathbf{A}^{(1)}\mathbf{U}^{(2)} & \mathbf{A}^{(1)}\mathbf{A}^{(1)} \end{pmatrix}. \end{aligned} \quad (6)$$

Отсюда видно, что  $\mathbb{M}$  (6) представляет собой матрицу дуплетов, внутренняя структура которой определяется внешним произведением векторов. Именно этот факт обуславливает высокую степень симметрии матрицы  $\mathbb{M}$  и позволяет исследовать свойства математической модели генетического словаря в терминах абстрактной теории групп.

### 3 Свойства матрицы дуплетов и степени детерминации

Будем полагать, что в первом приближении степень детерминации кодона  $d$  является аддитивной характеристикой, то есть степень детерминации дуплета складывается из степеней детерминации составляющих его нуклеотидов (например,  $d_{GA} = d_G + d_A$ ). Тогда из матрицы дуплетов  $\mathbb{M}$  можно получить соответствующую (симметрическую) матрицу  $D$  степеней детерминации

$$D = \begin{pmatrix} 8 & 7 & 6 & 5 \\ 7 & 6 & 5 & 4 \\ 6 & 5 & 4 & 3 \\ 5 & 4 & 3 & 2 \end{pmatrix}, \quad (7)$$

в которой явно прослеживаются симметричные закономерности. Отметим, что симметрия матрицы (7) настолько высока, что матрица сингулярна, т. е. ее детерминант равен нулю  $\det D = 0$ , и ранг матрицы равен двум  $\text{rank } D = 2$ , ее дефект также равен двум. Это является следствием того факта, что она есть внешнее произведение (6). Примечательно, что след матрицы равен  $\text{tr } D = 20$  и совпадает с суммой элементов боковой диагонали. Видно также, что по боковой диагонали матрицы (7) и параллельно ей находятся “равносильные” дуплеты. Операция (\*) (1) соответствует отражению матрицы степеней детерминации (7) относительно боковой диагонали

$$D^* = \begin{pmatrix} 2 & 3 & 4 & 5 \\ 3 & 4 & 5 & 6 \\ 4 & 5 & 6 & 7 \\ 5 & 6 & 7 & 8 \end{pmatrix}. \quad (8)$$

и, следовательно, пурин-пиримидиновая инверсия не меняет основных свойств матрицы  $D$ , то есть имеем  $\det D^* = \det D = 0$ ,  $\text{rank } D^* = \text{rank } D = 2$  и  $\text{tr } D^* = \text{tr } D = 20$ .

Если расположить боковую диагональ матрицы  $\mathbb{M}$  горизонтально, то мы получаем ромбическую структуру дуплетов

			CC				= 8
			GC		CG		= 7 сильные
		CU		GG		CU	= 6
AC			UG		GU		= 5 переходные
		AG		UU		GA	= 4
			AU		UA		= 3 слабые
			AA				= 2

(9)

соответствующую ромбическому варианту генетического словаря [18, 21], в которой определена “сила” каждого дуплета в терминах его степени детерминации так, что горизонтальные ряды состоят из равносильных дуплетов. Пурин-пиримидиновая инверсия (переход (1)) соответствует отражению ромбической структуры относительно диагонали. Дуплеты со степенью детерминации больше 5 кодируют одну аминокислоту, со степенью детерминации меньше 5 кодируют две аминокислоты, значение 5 — промежуточное: из этого ряда AC и GU детерминируют по одной аминокислоте, а UG и CA по две. Аминокислоты, кодируемые дуплетами с

низкой степени детерминации (меньше 5) принадлежат к разным классам по химическому типу радикалов, кроме дуплета **GA**, детерминирующего **Asp** и **Glu** одного химического класса. В промежуточном случае степень детерминации дуплета пропорциональна числу водородных связей. Пуриновые основания (**G** и **A**) образуют по две водородных связи, а пиримидиновые (**C** и **U**) по три связи.

## 4 Трехмерная матрица кодонов

От матрицы дуплетов  $\mathbb{M}$  (6) можно перейти к структуре триплетного кода следующим образом. Представим, что матрица дуплетов  $\mathbb{M}$  находится в плоскости координат  $xy$ . Умножим эту матрицу на вектор столбец  $\mathbb{V}$  (3), лежащий на оси, перпендикулярной плоскости  $xy$ , то есть построим тройное внешнее произведение  $\mathbb{K} = \mathbb{V} \times \mathbb{M}$ . Таким образом, по аналогии с (6) мы получили трехмерную матрицу четвертого порядка, или кубическую матрицу над множеством триплетов.

Для определения степени детерминации триплетов также воспользуемся предположением об аддитивности, как и для дуплетов (например,  $d_{CGA} = d_C + d_G + d_A$ ). Тогда каждый из 64 элементов (кодонов) кубической матрицы будет иметь числовую характеристику — степень детерминации кодона от **3** до **12**, которую для краткости будем называть силой кодона, а суммы степеней детерминации кодонов, лежащих на одной грани — силой грани. Кодоны с минимальной силой **3** — (**AAA**) и максимальной **12** — (**CCC**) лежат в противоположных вершинах куба, причем **CCC** находится в плоскости верхней грани, а **AAA** — в плоскости нижней грани куба. Назовем **AAA(3)**-Lys минимальным полюсом, а **CCC(12)**-Pro — максимальным<sup>1</sup>. Сумма сил по всем четырем диагоналям куба равна **30**, что указывает на высокую степень симметрии матрицы. Сумма сил верхней грани куба

$$\begin{array}{cccc}
 \text{CCC(12)–Pro} & \text{CCG(11)–Pro} & \text{CCU(10)–Pro} & \text{CCA(9)–Pro} \\
 \text{CGC(11)–Arg} & \text{CGG(10)–Arg} & \text{CGU(9)–Arg} & \text{CGA(8)–Arg} \\
 \text{CUC(10)–Leu} & \text{CUG(9)–Leu} & \text{CUU(8)–Leu} & \text{CUA(7)–Leu} \\
 \text{CAC(9)–His} & \text{CAG(8)–Gln} & \text{CAU(7)–His} & \text{CAA(6)–Gln}
 \end{array} \quad (10)$$

равна **144**, а нижней грани

$$\begin{array}{cccc}
 \text{ACC(9)–Thr} & \text{ACG(8)–Thr} & \text{ACU(7)–Thr} & \text{ACA(6)–Thr} \\
 \text{AGC(8)–Ser} & \text{AGG(7)–Arg} & \text{AGU(6)–Ser} & \text{AGA(5)–Arg} \\
 \text{AUC(7)–Ile} & \text{AUG(6)–Met} & \text{AUU(5)–Ile} & \text{AUA(4)–Ile} \\
 \text{AAC(6)–Asn} & \text{AAG(5)–Lys} & \text{AAU(4)–Asn} & \text{AAA(3)–Lys}
 \end{array} \quad (11)$$

равна **96**. Боковые грани (наружные плоскости кубической матрицы  $\mathbb{K}$ ) по силе различаются относительно диагонального сечения, построенного через элементы **CAC(9)**, **CCA(9)**, **ACA(6)**, **AAC(6)**. Грани, имеющие общее ребро **CAA**— **AAA**

$$\begin{array}{cccc}
 \text{CAC(9)–His} & \text{CAG(8)–Gln} & \text{CAU(7)–His} & \text{CAA(6)–Gln} \\
 \text{GAC(8)–Asp} & \text{GAG(7)–Glu} & \text{GAU(6)–Asp} & \text{GAA(5)–Glu} \\
 \text{UAC(7)–Tyr} & \text{UAG(6)–TERM} & \text{UAU(5)–Tyr} & \text{UAA(4)–TERM} \\
 \text{AAC(6)–Asn} & \text{AAG(5)–Lys} & \text{AAU(4)–Asn} & \text{AAA(3)–Lys}
 \end{array} \quad (12)$$

и

$$\begin{array}{cccc}
 \text{CAA(6)–Gln} & \text{CUA(7)–Leu} & \text{CGA(8)–Arg} & \text{CCA(9)–Pro} \\
 \text{AGC(5)–Ser} & \text{GUA(6)–Val} & \text{GGA(7)–Gly} & \text{GCA(8)–Ala} \\
 \text{UAA(4)–TERM} & \text{UAA(5)–Leu} & \text{UGA(6)–TERM} & \text{UCA(7)–Ser} \\
 \text{AAA(3)–Lys} & \text{AUA(4)–Ile} & \text{AGA(5)–Arg} & \text{ACA(6)–Thr}
 \end{array} \quad (13)$$

<sup>1</sup>В скобках приводится сила триплета.

имеют силу, равную **96**, а грани с общим ребром  $CCC—ACC$

$$\begin{array}{cccc}
 CCC(12)–Pro & CCG(11)–Pro & CCU(10)–Pro & CCA(9)–Pro \\
 GCC(11)–Ala & GCG(10)–Ala & GCU(9)–Ala & GCA(8)–Ala \\
 UCC(10)–Ser & UCG(9)–Ser & UCU(8)–Ser & UCA(7)–Ser \\
 ACC(9)–Thr & ACG(8)–Thr & ACU(7)–Thr & ACA(6)–Thr
 \end{array} \quad (14)$$

и

$$\begin{array}{cccc}
 CAC(9)–His & CUC(10)–Leu & CGC(11)–Arg & CCC(12)–Pro \\
 GAC(8)–Asp & GUC(9)–Val & GGC(10)–Gly & GCC(11)–Ala \\
 UAC(7)–Tyr & UUC(8)–Phe & UGC(9)–Cys & UCC(10)–Ser \\
 AAC(6)–Asn & AUC(7)–Ile & AGC(8)–Ser & ACC(9)–Thr
 \end{array} \quad (15)$$

имеют силу, равную **144**. Следовательно, грани имеющие общую точку  $AAA(3)$  характеризуются силой **96**, а грани, пересекающиеся в точке максимального полюса  $CCC(12)$ , имеют силу **144** каждая. Это подтверждает высокую симметрию кубической матрицы  $\mathbb{K}$ .

Внутренние плоскости матрицы, параллельные граням, число которых шесть, как и наружных, по сумме сил разделяются на две группы: с силами **112** и **128**. Две вертикальные плоскости  $[CAU(7), CCU(10), ACU(7), AAU(4)]$  и  $[CUC(10), CUA(7), AUA(4), AUC(7)]$ , линия пересечения которых проходит через  $CUU(8)—AUU(5)$ , а также плоскость  $[UAC(7), UCC(10), UCA(7), UAA(4)]$ , пересекающая две первые и имеющая с ними общую точку  $UUU(6)$  имеют силу **112** каждая и находятся ближе к минимальному полюсу.

Плоскости  $[CGC(11), CGA(8), AGA(5), AGC(8)]$  и  $[CAC(8), CCG(11), ACG(8), AAC(5)]$  пересекаются по следующей прямой  $CGG(10)—AGG(7)$  и имеют с плоскостью  $[GAC(8), GCC(11), GCA(8), GAA(5)]$  общую точку  $GGG(9)$ . Сила каждой из них равна **128**.

Отметим что, точками пересечения равносильных плоскостей являются монотонные три-нуклеотиды, находящиеся на главной диагонали. Отсюда следует правило:

*Сила грани или плоскости, параллельной грани,  $d_{plane}$  однозначно определяется ее единственным монотонным тринуклеотидом  $AAA(3)$ ,  $UUU(6)$ ,  $GGG(9)$ ,  $CCC(12)$  и равна **96**, **112**, **128**, **144** соответственно.*

Важно, что график зависимости силы плоскости  $d_{plane}$  от силы принадлежащего ей монотонного тринуклеотида  $d_{mono}$  представляет собой прямую линию

$$d_{plane} = \frac{16}{3}d_{mono} + 80, \quad (16)$$

что является следствием высокой симметрии кубической матрицы.

## 5 Кубическая матрица кодонов и вырожденность кода

Рассмотрим особенности расположения кодонов и их значений в построенной кубической матрице  $\mathbb{K}$ . Поскольку каждому кодону, кроме трех терминальных, соответствует аминокислота, то можно говорить о трехмерной модели генетического словаря.

Отметим следующие свойства этой модели. Гидрофобные аминокислоты Leu, Val, Phe, Ile лежат в одной плоскости  $CUC(10)$ ,  $CUA(7)$ ,  $AUA(4)$ ,  $AUC(7)$ . Оксимоноаминокарбоновые кислоты серин (Ser) и треонин (Thr) находятся на наружной грани  $CCC(12)$ ,  $CCA(9)$ ,  $ACA(6)$ ,  $ACC(9)$ . На верхней грани куба находятся четыре из шести кодонов лейцина и аргинина, и все кодоны этой грани содержат цитозин. Кодоны пролина занимают строку с наибольшими степенями детерминации  $CCC(12)$ ,  $CCG(11)$ ,  $CCU(10)$ ,  $CCA(9)$ . Аминокислоты, кодирующиеся четырьмя кодонами, расположены в строку, причем моноаминокарбоновые аминокислоты лежат в одной плоскости

$$\begin{array}{cccc}
\text{GCC(11)–Ala} & \text{GCG(10)–Ala} & \text{GCU(9)–Ala} & \text{GCA(8)–Ala} \\
\text{GGC(10)–Gly} & \text{GGG(9)–Gly} & \text{GGU(8)–Gly} & \text{GGA(7)–Gly} \\
\text{GUC(9)–Val} & \text{GUG(8)–Val} & \text{GUU(7)–Val} & \text{GUA(6)–Val} \\
\text{GAC(8)–Asp} & \text{GAG(7)–Glu} & \text{GAU(6)–Asp} & \text{GAA(5)–Glu}
\end{array} \quad (17)$$

Последнюю строку занимают моноаминодикарбоновые аминокислоты: аспарагиновая и глутаминовая, обладающие гидрофильными свойствами. Уникальные кодоны AUG(6)–Met находится в плоскости нижнего основания основания матрицы, а UGG(8)–Trp лежит в одной плоскости

$$\begin{array}{cccc}
\text{UCC(10)–Ser} & \text{UCG(9)–Ser} & \text{UCU(8)–Ser} & \text{UCA(7)–Ser} \\
\text{UGC(9)–Cys} & \text{UGG(8)–Trp} & \text{UGU(7)–Cys} & \text{UGA(6)–TERM} \\
\text{UUC(8)–Phe} & \text{UUG(7)–Leu} & \text{UUU(6)–Phe} & \text{UUA(5)–Leu} \\
\text{UAC(7)–Tyr} & \text{UAG(6)–TERM} & \text{UAU(5)–Tyr} & \text{UAA(4)–TERM}
\end{array} \quad (18)$$

с терминальными кодонами UAA(4), UGA(6), UAG(6), которые имеют степени детерминации не больше 6 и находятся на равносильных боковых гранях с  $d = 96$ . В общем случае можно заметить, что, чем больше кодонов кодирует одну аминокислоту, тем больше сила каждого из них (8-10), уникальные кодоны, напротив, имеют невысокие степени детерминации (4-8).

Определим силу аминокислоты  $d_{\text{AMK}}$  как среднее арифметическое сил кодонов  $d_{\text{codon}}$ , детерминирующих ее

$$d_{\text{AMK}} = \frac{\sum d_{\text{codon}}}{n_{\text{deg}}}, \quad (19)$$

где  $n_{\text{deg}}$  — это ее степень вырожденности. То есть, для каждой из 20 аминокислот мы получили числовую характеристику  $d_{\text{AMK}}$ , которая показывает с какой силой детерминируется данная аминокислота. Эта зависимость и зависимость средней силы аминокислоты  $d_{\text{AMK}}$  от числа кодонов  $n_{\text{deg}}$  представлены в Таблице 1.

AMK	$d_{\text{AMK}}$	$n_{\text{deg}}$
Lys	4	2
Asn	5	2
Ile	$5\frac{1}{3}$	3
Glu/Met/Tyr	6	2/1/2
Phe/Asp/Gln	7	2/2/2
Val/Thr	$7\frac{1}{2}$	4/4
Leu	$7\frac{2}{3}$	6
Cys/Trp/Ser/His	8	2/1/6/2
Arg	$8\frac{1}{3}$	6
Gly	$8\frac{1}{2}$	4
Ala	$9\frac{1}{2}$	4
Pro	11	4

Это позволяет анализировать различные свойства аминокислот в зависимости от введенной силы (степени детерминируемости  $d_{\text{AMK}}$ ).

## 6 Свойства равносильных сечений

Рассмотрим геометрическое расположение в кубической матрице  $\mathbb{K}$  кодонов, имеющих равную силу. Кодоны с одинаковой силой  $d_{\text{codon}} = \text{const}$  лежат в плоскостях, перпендикулярных

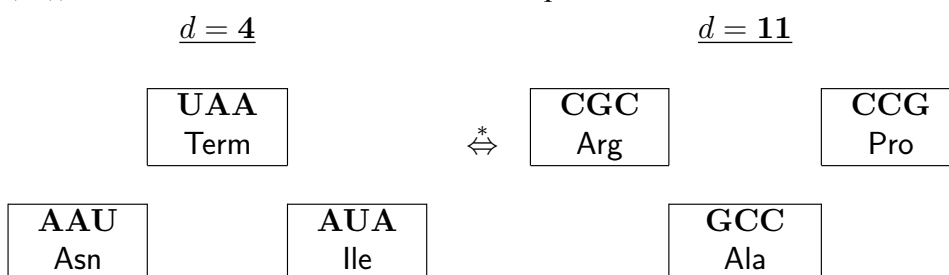
главной диагонали куба  $AAA(3) — CCC(12)$ . Можно показать, что таких плоскостей (или сечений) десять (с учетом двух угловых одноэлементных), которые представляются в виде различных геометрических фигур. Сила сечения  $d_{section}$  определяется как сила каждого из входящих в него кодонов  $d_{section} = d_{codon} = const$ , а количество элементов в сечении находится в следующей зависимости от  $d_{section}$

Сила сечения $d_{section}$	<b>3</b>	<b>4</b>	<b>5</b>	<b>6</b>	<b>7</b>	<b>8</b>	<b>9</b>	<b>10</b>	<b>11</b>	<b>12</b>
Число элементов в сечении	1	3	6	10	12	12	10	6	3	1

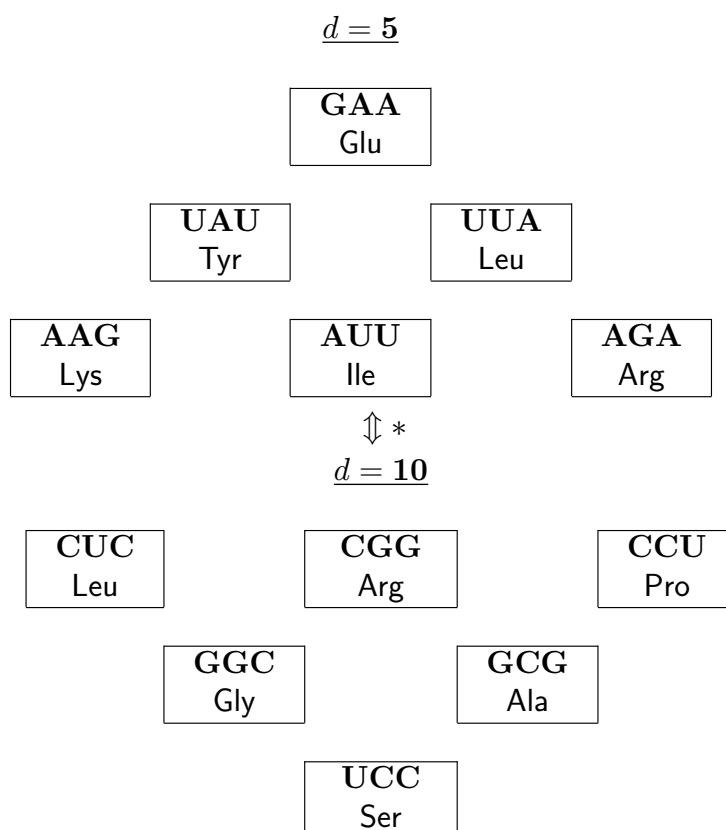
Отсюда видно, что десять сечений распадаются на пять взаимодополнительных пар, имеющих одинаковую форму и количество триплетов и связанных между собой пурип-пиримидиновой инверсией и отражением. Если силу сечения дополнительной пары обозначить  $d_{section}^*$ , то из Таблицы 2 следует формула

$$d_{section} + d_{section}^* = 15. \quad (20)$$

В простейшем случае одноэлементной пары наблюдается монотонная пурип-пиримидиновая инверсия  $AAA(3) \xleftrightarrow{*} CCC(12)$ . Следующая пара взаимодополнительных (в смысле формулы (20)) сечений состоит из плоскостей с тремя кодонами



Отметим, что сечение  $d = 4$  не содержит “сильных” дуплетов, а сечение  $d = 11$  не содержит “слабых” дуплетов. В остальных парах происходит смешение “слабых” и “сильных” дуплетов. Например, пара сечений с 6 элементами имеет вид





Видно, что сечение  $d = 4$  ( $d = 5$ ) является отображением в сечение  $d = 11$  ( $d = 10$ ) при действии пурин-пиримидиновой инверсии  $G \xleftrightarrow{*} U, C \xleftrightarrow{*} A$  (1).

Примечательно, что подобные отображения и зеркальная симметрия с поворотом на угол  $\pi$  относительно оси  $y$  наблюдаются во всех парах геометрически подобных сечений с одинаковым числом элементов, что наглядно прослеживается из

$$\begin{aligned} d = 5 : & \text{AAG} \rightarrow \text{UAU} \rightarrow \text{GAA} \rightarrow \text{UUA} \rightarrow \text{AGA} \rightarrow \text{AUU} \\ & \qquad \qquad \qquad \updownarrow * \\ d = 10 : & \text{CCU} \rightarrow \text{GCG} \rightarrow \text{UCC} \rightarrow \text{GGC} \rightarrow \text{CUC} \rightarrow \text{CGG} \end{aligned} \quad (21)$$

Пара сечений с силами 6 и 9 содержит в том числе и монотонные кодоны  $\text{UUU}$  и  $\text{GGG}$ , находящиеся на диагонали куба и внутри сечения

$$\begin{aligned} d = 6 : & \text{UUU} \rightarrow \text{AAC} \rightarrow \text{UAG} \rightarrow \text{GAU} \rightarrow \text{CAA} \rightarrow \text{GUA} \\ & \qquad \qquad \qquad \rightarrow \text{UGA} \rightarrow \text{ACA} \rightarrow \text{AGU} \rightarrow \text{AUG} \\ & \qquad \qquad \qquad \updownarrow * \\ d = 9 : & \text{GGG} \rightarrow \text{CCA} \rightarrow \text{GCU} \rightarrow \text{UCG} \rightarrow \text{ACC} \rightarrow \text{UGC} \\ & \qquad \qquad \qquad \rightarrow \text{GUC} \rightarrow \text{CAC} \rightarrow \text{CUG} \rightarrow \text{CGU} \end{aligned}$$

Сечения с  $d = 7$  и  $d = 8$  содержат по три элемента, лежащих внутри периметра сечения

$$\begin{aligned} d = 7 : & \text{AUC} \rightarrow \text{UAC} \rightarrow \text{GAG} \rightarrow \text{CAU} \rightarrow \text{CUA} \rightarrow \text{GGA} \\ & \qquad \qquad \qquad \rightarrow \text{UCA} \rightarrow \text{ACU} \rightarrow \text{AGG} \rightarrow \text{UUG} \rightarrow \text{GUU} \rightarrow \text{UGU} \\ & \qquad \qquad \qquad \updownarrow * \\ d = 8 : & \text{CGA} \rightarrow \text{GCA} \rightarrow \text{UCU} \rightarrow \text{ACG} \rightarrow \text{AGC} \rightarrow \text{UUC} \\ & \qquad \qquad \qquad \rightarrow \text{GAC} \rightarrow \text{CAG} \rightarrow \text{CUU} \rightarrow \text{GGU} \rightarrow \text{UGG} \rightarrow \text{GUG} \end{aligned}$$

## 7 Геометрические симметрии кубической матрицы кодонов

Рассмотрим сечение с силой  $d = 4$ , включающее три элемента. Представим его в виде равно-стороннего треугольника в вершинах которого расположены кодоны (перечислены по часовой стрелке, начиная с нижней левой вершины):

$$\text{AAU} \rightarrow \text{UAA} \rightarrow \text{AUA}. \quad (22)$$

Элементы сечения имеют связность, так как кодоны отличаются друг от друга одним осно-ванием.

Далее, каждый кодон можно в свою очередь представить как равносторонний треугольник, в вершинах которого лежат единичные нуклеотиды. Вращением, например, треугольника  $\text{AAU}$  вокруг оси  $z$ , перпендикулярной его плоскости на углы  $\frac{2}{3}\pi$  и  $\frac{4}{3}\pi$  можно получить последова-тельные превращения (переходы) элементов сечения (22).

Поворотом на положительный угол, относительно направленной оси, мы, как это общепри-нято [22], будем считать поворот, соответствующий вращению правого винта, то есть по ча-совой стрелке, если смотреть вдоль оси в положительном направлении. Обозначим операцию вращения треугольника  $\text{AAU}$  на угол  $\frac{2}{3}\pi$  как  $R_1$ , а  $R_2$  — поворот на  $\frac{4}{3}\pi$ , поворот  $\text{AAU}$  на нулевой угол обозначим  $E$ . Можно показать, что совокупность операций вращения  $E, R_1, R_2$  вокруг оси  $z$  образует группу. Для доказательства этого утверждения составим таблицу умно-жения (таблицу Кэли). Согласно определению [22] совокупность  $\Gamma$  элементов  $G_1, G_2, G_3 \dots$  на-зывается группой, если задан закон “умножения” или операция, удовлетворяющая следующим

требованиям. Результат умножения двух элементов  $G_a$  и  $G_b$  называется произведением и должен принадлежать группе. В нашем случае элементами группы являются повороты  $E, R_1, R_2$ , а произведением — последовательное выполнение поворотов. Если поворот  $R_1$  переводит систему из положения А в положение В, а поворот  $R_2$  из положения В в положение С, то произведение  $R_1 R_2$  переводит систему из А в С (закон умножения операций вращения). При повороте на нулевой угол треугольник переходит сам в себя, то есть  $E$  — операция тождественная, полностью соответствующая требованиям единичного элемента

$$R_1 \times E = R_1 ; R_2 \times E = R_2.$$

Двойное выполнение поворота на  $\frac{2}{3}\pi$  идентично повороту на  $\frac{4}{3}\pi$ , поэтому  $R_1 \times R_1 = R_2$ . Аналогично находим произведения остальных элементов.

$G_a \setminus G_b$	$E$	$R_1$	$R_2$
$E$	$E$	$R_1$	$R_2$
$R_1$	$R_1$	$R_2$	$R_1$
$R_2$	$R_2$	$E$	$R_1$

Видно, что совокупность элементов  $\Gamma$  является группой, поскольку выполняются условия:

1. Произведение любых двух элементов принадлежит совокупности.  
 2. Условие ассоциативности, то есть при перемножении трех элементов не должно иметь значения в какой последовательности выполняется это умножение. Поскольку элемент группы — поворот, то это условие выполняется.

3. Единичный элемент оговорен выше, а существование обратного вытекает из таблицы умножения. Как произведение двух операций совмещения, так и действие обратное любой из них, естественно, являются операциями совмещения.

Таким образом мы доказали, что сечение со степенью детерминации  $d = 4$  обладает свойствами группы. Аналогично можно доказать групповые свойства сечения  $d = 11$ , также содержащее три кодона

$$\text{CCG} \rightarrow \text{CGC} \rightarrow \text{GCC} \quad (23)$$

В каждом из сечений можно найти общее число пуриновых и пиримидиновых оснований.

$d_{section}$	$n_C$	$n_G$	$n_U$	$n_A$	$n_C + n_U$	$n_G + n_A$	$\Delta n$
<b>3</b>	0	0	0	3	0	3	-3
<b>4</b>	0	0	3	6	3	6	-3
<b>5</b>	0	3	6	9	6	12	-6
<b>6</b>	3	6	9	12	12	18	-6
<b>7</b>	6	9	12	9	18	18	0
<b>8</b>	9	12	9	6	18	18	0
<b>9</b>	12	9	6	3	18	12	6
<b>10</b>	9	6	3	0	12	6	6
<b>11</b>	6	3	0	0	6	3	3
<b>12</b>	3	0	0	0	3	0	3

График зависимости  $\Delta n$  от  $d$  представляет собой периодическую функцию с областью определения  $\{3;12\}$  и областью значений на отрезке  $\{-6;6\}$ . Эта функция описывает колебания разности количества пиримидинов и пуринов в кодонах с одинаковыми степенями детерминации, что позволяет говорить об определенном биологическом смысле введенной нами степени детерминации нуклеотида  $d$ .

Отметим, что речь идет о зависимостях внутри генетического словаря, применимых и к одноцепочечным нуклеотидным последовательностям в отличие от Чаргаффа[23], описавшего пурин-пиримидиновые соотношения в молекуле ДНК. Таким образом, благодаря введенной степени детерминации нуклеотида возможно анализировать не только относительное и качественное, но и абсолютное содержание определенных нуклеотидов в любом генетическом тексте.

## 8 Выводы

Таким образом, алгебраический подход дает возможность по новому взглянуть на проблему генетического кода. Симметрии, наблюдаемые в коде проявляют себя в процессах выбора кодонов для определения различных аминокислот. Предложенная модель построена на основе различной способности нуклеотидов С, G, U, A однозначно детерминировать аминокислоту. Введенное понятие степени детерминации нуклеотида позволяет представлять генетические тексты как последовательность чисел от 1 до 4 (фактически в четверичной системе счисления). Анализ таких последовательностей может привести к более глубокому пониманию процессов транскрипции и, возможно, к формулировке новых принципов конструирования рекомбинантных ДНК, что в настоящее время является неотъемлемым компонентом развития методов клонирования и генной инженерии.

## Список литературы

- [1] Сингер М., Берг П. *Гены и геномы*. - М.: Мир, 1998. - 391 с.
- [2] Стент Г., Кэлиндар Р. *Молекулярная генетика*. - М.: Мир, 1981. - 646 с.
- [3] Hornos J. E. M., Hornos Y. M. M. *Model for the evolution of the genetic code // Phys. Rev. Lett.* - 1993. - V. 71. - P. 4401–4404.
- [4] Jarvis P. D., Bashford J. D. *Systematics of the genetic code and anticodon: history, supersymmetry, degeneracy and periodicity*. - Hobart: 1998. - 3 p. (*Preprint / Univ. of Tasmania, physics/9809030*).
- [5] Frappat L., Sorba P., Sciarrino A. *A crystal base for the genetic code*. - Lyon: 1997. - 12 p. (*Preprint / Lab. de Phys. Theor. ENS; ENSLAPP-AL-671/97, physics/9801027*).
- [6] Суходолец В. В. *Смысл генетического кода: реконструкция этапа предбиологической эволюции // Генетика*. - 1985. - Т. 21. - № 10. - С. 1589–1599.
- [7] Findley G. L., Findley A. M., McGlynn S. P. *Symmetry characteristics of the genetic code // Proc. Natl. Acad. Sci. USA*. - 1982. - V. 79. - № 22. - P. 7061–7065.
- [8] Bashford J. D., Tsochantjis I., Jarvis P. D. *A supersymmetric model for the evolution of the genetic code // Proc. Natl. Acad. Sci. USA*. - 1998. - V. 95. - P. 987–992.
- [9] Bashford J. D., Tsochantjis I., Jarvis P. D. *Codon and nucleotide assignments in a supersymmetric model of the genetic code // Phys. Lett.* - 1997. - V. A233. - P. 481–488.
- [10] Bashford J. D., Jarvis P. D., Tsochantjis I. *Supersymmetry and the genetic code // Physical Applications and Mathematical Aspects of Geometry, Groups, and Algebras*. - Singapore: World Sci., 1997. - P. 826–831.

- [11] Bhry T., Cziryk A., Vicsek T., Major B. *Application of vector space techniques to DNA // Fractals.* - 1998. - V. 6. - № 3. - P. 205–210.
- [12] Ичас М. *Биологический код.* - М.: Мир, 1971. - 351 с.
- [13] Ратнер В. А. *Структура и эволюция генетического кода // Итоги науки и техники. Сер. Мол. Биол.* Т. 21. - М.: ВИНТИ, 1985. - С. 158–197.
- [14] Maddox J. *The genetic code by numbers // Nature.* - 1994. - V. 367. - P. 111.
- [15] Льюин Б. *Гены.* - М.: Мир, 1987. - 544 с.
- [16] Сингер М., Берг П. *Гены и геномы.* - М.: Мир, 1998. - 373 с.
- [17] Румер Ю. Б. *О систематизации кодонов в генетическом коде // ДАН СССР.* - 1969. - Т. 187. - № 187. - С. 937–938.
- [18] Румер Ю. Б. *Систематизация кодонов в генетическом коде // ДАН СССР.* - 1968. - Т. 183. - № 1. - С. 225–226.
- [19] Румер Ю. Б. *О систематизации кодонов в генетическом коде // ДАН СССР.* - 1966. - Т. 167. - № 6. - С. 1393–1394.
- [20] Гантмахер Ф. Р. *Теория матриц.* - М.: Наука, 1988. - 548 с.
- [21] Карасев В. А. *Ромбический вариант генетического словаря на основе комплементарности кодирующих нуклеотидов // Вестн. Ленингр. ун-та.* - 1976. - Т. 1. - № 3. - С. 93–97.
- [22] Эллиот Д., Добер П. *Симметрия в физике.* - М.: Мир, 1983. - 364 с.
- [23] Бреслер С. Е. *Введение в молекулярную биологию.* - Л.: Наука, 1966. - 296 с.